

أمثلة ومسابئلة محلولة

١- ضغط غاز O_2 اللازم للحصول على تغطية ما لذرات الأكسجين الممتزة على سطح الفضة عند 700 K يساوي 1×10^{-3} mb. فإذا كان الضغط اللازم للحصول على نفس التغطية للسطح عند 800 K يساوي 36 mb، قدر أنثالي الإمتاز المتساوي الحجم لغاز $O_{2(g)}$ على Ag. باستخدام المعادلة رقم (1.34).

$$[\log_e (P_1 / P_2)]_{\theta} = \frac{\Delta H_{AD}}{R} \left(\frac{1}{T_1} - \frac{1}{T_2} \right)$$

$$\therefore \log_e \frac{36}{1} = \frac{\Delta H_{AD}}{8,314} \left(\frac{1}{800} - \frac{1}{700} \right)$$

$$\therefore 3.58 = \frac{\Delta H_{AD}}{8,314} (-1.7817 \times 10^{-4})$$

$$\therefore \Delta H_{AD} = -\frac{3.58 \times 8,314}{1.7857 \times 10^{-4}}$$

$$= -167 \text{ kJ mol}^{-1}$$

٢- بين بواسطة الرسم البياني قابلية التطبيق للإزوثيرمات فرنديتش ولانجمير للمعطيات المجدولة أدناه.

كتلة الغاز المتر لكل وحدة مساحة (gm^{-2})	الضغط (Nm^{-2})
0.140	0.28
0.176	0.40
0.221	0.61
0.278	0.95
0.328	1.70
0.384	3.40

إيزوثيرم فرندليتش (Freundlich) - أعتبر لاعتماد اللوغاريتمي لأثنالبي الإمتزاز على

$$\theta = C_3 P^{1/C_4} \quad \text{التغطية المعادلة رقم (1.39)}$$

وإذا أخذنا اللوغاريتم لطرفي هذه المعادلة سنحصل على :

$$\log_e \theta = \log_e C_3 + \frac{1}{C_4} \log_e P$$

وباستعمال المعادلة رقم (1.19)

$$\theta = m / m_\infty$$

$$\therefore \log_e \left(\frac{m}{m_\infty} \right) = \log_e C_3 + \frac{1}{C_4} \log_e P$$

$$\therefore \log_e m - \log_e m_\infty = \log_e C_3 + \frac{1}{C_4} \log_e P$$

$$\therefore \log_e m = \log_e C_3 + \log_e m_\infty + \frac{1}{C_4} \log_e P$$

$$\therefore \log_e m = \log_e (C_3 m_\infty) + \frac{1}{C_4} \log_e P \quad \text{على شكل } y = c + mx$$

∴ ارسم $\log_e m$ مقابل $\log_e P$. إذا تم الحصول على خطاً مستقيماً في الرسم

البياني، فإن الامتزاز يخضع لإيزوثيرم فرندليتش. فإن لم يكن ذلك!

جرب إيزوثيرم لانجمير (Langmuir) — أعتبر أنثالي الامتزاز لا تعتمد على التغطية. باستخدام المعادلة رقم (1.19).

$$\frac{P}{m} = \frac{1}{m_{\infty} K} + P \left(\frac{1}{m_{\infty}} \right) \quad \text{على شكل } y = c + mx$$

∴ أرسم P/m مقابل P . إذا تحقق امتزاز لانجمير، فيجب أن يكون الرسم البياني خطا مستقيما ميله يساوي $1/m_{\infty}$ ونقطة تقاطعه $1/m_{\infty} K$.

$P/m (Ng^{-1})$	$P (Nm^{-2})$
0.28	2.00
0.40	2.27
0.61	2.76
0.95	3.42
1.70	5.18
3.40	8.85

وبما أنه تم الحصول على خط مستقيم، فمعنى ذلك أن امتزاز لانجمير قد

تحقق. وعندئذ فإن : $K = 1.82(Nm^{-2})^{-1}$ و $m_{\infty} = 0.423 g m^{-2}$.

٣- نتائج حجم غاز (مقاس عند 1 atmosphere و 273 K) ممتز على 1g من الفحم النباتي عند ضغوط مختلفة مدونة أدناه :

$P(\text{cm Hg})$	1.0	2.0	3.0	5.0	10.0
$V(\text{cm}^3)$	45.0	55.9	60.2	64.7	68.4

إذا كان قطر جزيئات الغاز يساوي تقريبا 0.4 nm، فأوجد المساحة السطحية للفحم النباتي. (إن حجم الجزيء الواحد لغاز مثالي عند 273 K و 1 atm يساوي $0.0244 m^3$).
إذا اعتبرنا امتزاز لانجمير، نستخدم المعادلة رقم (1.20).

$$\therefore \left(\frac{P}{V}\right) = \frac{1}{V_{\infty}K} + P\left(\frac{1}{V_{\infty}}\right)$$

∴ ارسم P/V مقابل P . إذا تحقق امتزاز لانجمير، فيجب أن يكون الرسم البياني خطاً مستقيماً ميله يساوي $1/V_{\infty}$ ونقطة تقاطعه $1/V_{\infty}K$.

P/V (cm Hg/cm ³)	P (cm Hg)
1.0	0.02222
2.0	0.03578
3.0	0.04983
5.0	0.07728
10.0	0.14620

نحصل من الميل على $V_{\infty} = 73 \text{ cm}^3$.

نظراً أن V_{∞} يناسب حجم الغاز اللازم لتكوين طبقة أحادية، يمكن تحويل V_{∞} إلى عدد مولات الغاز

$$\frac{73/10^6}{0.0244} = 2.99 \times 10^{-3} \text{ moles}$$

(ملاحظة: يجب تحويل cm^3 إلى m^3)

وبالتالي، فإن عدد الجزيئات المناسب لطبقة أحادية هو

$$2.99 \times 10^{-3} \times 6.023 \times 10^{23} = 1.8 \times 10^{21} \text{ molecules}$$

لقد أشرنا على أن قطر جزيء الغاز الممتز يساوي 0.4×10^{-9} ، إذن باعتبار طبقة مرصوفة، فإن المساحة الكلية للفحم النباتي ما هي إلا مساحة جزيء واحد مضاعف بالعدد الكلي للجزيئات المناسبة لطبقة واحدة:

$$\text{Charcoal surface area} = \pi \times \left(\frac{0.4 \times 10^{-9}}{2}\right)^2 \times 1.8 \times 10^{21} = 226 \text{ m}^2$$

(المساحة السطحية للفحم النباتي)

∴ 1 g من الفحم النباتي لها مساحة سطحية قيمتها 226 m^2 . إن هذا الرقم الكبير له علاقة بالمسامية.

٤- ارسم السطح (110) لمادة مكعبة مركزة الجسم ذات ثابت شبكي يساوي 3.16 \AA . بين خلية الوحدة للسطح وأحسب الكثافة الذرية السطحية. ما هو الزمن المستغرق لامتزاز 0.5 ML من الهيدروجين على السطح عند 10^{-9} Torr و 300 K ، إذا اعتبرنا أن الامتزاز تفككي وأن احتمالية الاتزاق مساوية للوحدة ؟
يتبين من (الشكل رقم ١،١٥) أن خلية الوحدة هي على شكل مستطيل مركز له مساحة تعطى بالعلاقة $a \times \sqrt{2}a = \sqrt{2}a^2$.

$$\therefore \text{area of unit cell} = \sqrt{2} \times (3.16 \text{ \AA})^2 = 14.12 \text{ \AA}^2$$

(مساحة خلية الوحدة)

كل خلية وحدة تحتوي على ذرتين (الذرة المركزية هي منفردة للخلية المعنية وأما الذرات الأربعة الركنية ، فكل واحدة منها تساهم بربع ذرة ، نظراً أن كل واحدة منها مشتركة بين أربع خلايا وحدة. لذلك ، فإن المساحة لكل ذرة هي $14.12 \text{ \AA}^2/2 = 7.06 \text{ \AA}^2$.

$$\text{Density of atoms per cm}^2 = \frac{1}{7.06 \times 10^{-16}} \quad (\text{ملاحظة : يجب تحويل } \text{ \AA}^2 \text{ إلى } \text{ cm}^2)$$

كثافة الذرات لكل cm^2

$$= 1.416 \times 10^{15}$$

لحساب سرعة القذف :

$$Z = \frac{P}{(2\pi mkT)^{1/2}} \text{ cm}^{-2} \text{ s}^{-2}$$

$$1 \text{ Torr} = 1.333 \times 10^2 \text{ Nm}^{-2}$$

$$\therefore 10^{-9} \text{ Torr} = 1.333 \times 10^{-7} \text{ Nm}^{-2} = 1.333 \times 10^{-11} \text{ Nm}^{-2}$$

$$\text{كتلة جزيء } \text{H}_2 = m = \frac{2 \times 10^{-3} \text{ kg mol}^{-1}}{6.023 \times 10^{23} \text{ mol}^{-1}}$$

$$m = 3.321 \times 10^{-27} \text{ kg}$$

$$Z = \frac{1.333 \times 10^{-11} \text{ Ncm}^{-2}}{\{2\pi(3.321 \times 10^{-27} \text{ kg})(1.381 \times 10^{-23} \text{ JK}^{-1})(300 \text{ K})\}^{1/2}}$$

وعليه ، فإن سرعة التغطية

$$1.013 \times 10^{-3} \text{ طبقات أحادية لكل ثانية} = \frac{1.434 \times 10^{12} \text{ cm}^{-2} \text{ s}^{-2}}{1.416 \times 10^{15} \text{ cm}^{-2}}$$

متوقعة.

ولكن باعتبار امتزاز تفككي ، أي انقسام كل جزيء H_2 إلى ذرتين عند الامتزاز :

$$\text{التغطية} = 2.026 \times 10^{-3} \text{ طبقات أحادية لكل ثانية.}$$

وبالتالي فإن الزمن المستغرق عند 10^9 Torr لتراكم 0.5 ML من الممتز تساوي

$$(0.5 \times 10^9 / (2.026 \times 10^{-3})) \text{ ثانية أو } 4.1 \text{ دقيقة.}$$

إن هذا المثال يمثل أسوأ حالة سيناريو : غاز يتحرك بسرعة عالية وباحتمالية اللاتزاق

واحدة. لاحظ أنه حتى ولو أن الضغط خفيض إلى 10^9 Torr ، فإن كمية ملوثة لا

تهمل قد تراكمت في دقائق فقط.

٥- يؤدي ترسيب رقيقة معدن على ماز من Cu إلى انخفاض شدة قمة أوجيه

ذات الطاقة الحركية 60 eV Cu إلى 76 ، 50 ، 25 و 6% من القيمة للسطح النقي لرقيقة

سمكها 2 ، 5 ، 10 و 20 \AA على التوالي. قدر بيانها القيمة لمتوسط المسار الحر غير المرن

لإلكترونات أوجيه 60 eV .

إن العلاقة التي تعطي انخفاض شدة أوجيه للماز بدلالة السماكة d للرقيقة عند انبعث

عمودي هي :

$$I(d) = I_0 \exp\left(\frac{-d}{\lambda}\right) \quad (\text{المعادلة رقم 1.53})$$

حيث I_0 = الشدة للماز النقي و λ = متوسط المسار الحر غير المرين.
باستعمال اللوغاريتم الطبيعي

$$\ln I(d) = \ln I_0 - \frac{d}{\lambda}$$

وبتوحيد normalizing شدة السطح النقي إلى 1 ($\ln I_0 = 0$)

$$\ln I(d) = \frac{-d}{\lambda} = -\left(\frac{1}{\lambda}\right)d$$

وبالتالي، فإن رسم منحنى $\ln I(d)$ مقابل السماكة d للريقة سيكون خطي
ذوا ميل $= \frac{1}{\lambda}$.

$d(\text{\AA})$	$I(d)$	$\ln I(d)$
0	1	0.00
2	0.76	-0.274
5	0.50	-0.693
10	0.25	-1.386
20	0.06	-2.813

$$\frac{1}{\lambda} = -0.141 \text{ \AA}^{-1} = \text{الميل}$$

$$\therefore \lambda = 7.1 \text{ \AA}$$

في الحقيقة، يتم تقدير متوسط المسار الحر غير المرين بدقة بهذه الطريقة، أي بقياس الانخفاض في XPS للماز أو بواسطة قمم أوجيه بدلالة سماكة الرقيقة (التي يتم معايرتها مسبقاً). يعتمد التحليل على أن النمو يحدث بطريقة طبقة طبقة، وهذا ما لا يحدث غالباً، مما يؤدي إلى درجة من التشتت في قيم التجارب.

٦- يؤدي نمو طبقة رقيقة جدا من النحاس بطريقة طبقة فطبقة على ماز من البلاديوم إلى انخفاض في قمة XPS الماز (BE = 335 eV) إلى 40% من قيمتها في حالة السطح النقي لما تتم إثارتها بواسطة إشعاع $Al-K_{\alpha}$ ($h\nu = 1486.6$ eV). المطلوب هو تقدير :

(أ) سماكة رقيقة Cu

(ب) الانخفاض في إشارة XPS عند زاوية انبعاث تساوي 70° .

(يمكن افتراض أن متوسط القطر الذري للنحاس هو 2.55 \AA . أعتبر $\phi = 5$ eV).

(أ) أولاً: أحسب متوسط المسار الحر غير المرن لقمة XPS للماز :

$$E_{kin} = h\nu - E_b - \phi = 1486.6 - 335 - 5 \text{ eV}$$

$$E_{kin} = 1147 \text{ eV}$$

∴ يعطى IFMP بالمعادلة رقم (1.54) :

$$\lambda(nm) = \frac{538a}{(E_{kin})^2} + 0.41a^{3/2}(E_{kin})^{1/2} = \frac{538}{(1147)^2} \times 0.255 + 0.41(0.255)^{3/2}(1147)^{1/2}$$

$$\therefore \lambda = 1.79 \text{ nm}$$

إن انحلال قمة XPS للماز مع سماكة الرقيقة توافق قانون انحلال أسّي. عند انبعاث

عمودي، تصلح المعادلة رقم (1.53) :

$$I(d) = I_0 \exp(-d/\lambda)$$

باستعمال اللوغاريتم الطبيعي

$$\ln[I(d)/I_0] = -d/\lambda$$

$$d = -\lambda \ln[I(d)/I_0] = -1.79 \log_e(0.4)$$

$$\therefore d = 1.64 \text{ nm.}$$

∴ سمك رقيقة النحاس يساوي 1.64 nm.

(ب) بالنسبة للانبعث العمودي، إن طول المسار التعاملي المتخذ من طرف

الإلكترون يزداد بقيمة

$$d_{eff} = d / \cos \theta$$

$$\therefore d_{eff} = \frac{1.64}{\cos 70^\circ} = 4.8 \text{ nm}$$

وبالتالي

$$\frac{I}{I_o} = \exp\left(\frac{-4.8}{1.79}\right) = 0.068$$

∴ عند زاوية انبعاث قيمتها 70° ، تساوي قمة XPS للماز 7% من شدتها للسطح النقي. قارن هذه القيمة بالقيمة عند الانبعاث العمودي.

٧- تم قياس احتمالية الالتزاق التفككي للأكسجين على Cu(110) عند درجة حرارتين مختلفتين بواسطة حزمة جزيئية حرارية. بينت المعطيات أن عند كل درجة حرارة، يحدث انخفاض خطي لقيمة S مع التغطية. كما لوحظ كذلك نموذج LEED (الموضح في الصورة أدناه) عند تغطيات منخفضة ذات شدة قصوى عند تغطية تساوي بالضبط 0.5 ML. من هذه المعلومات :

(أ) أحسب طاقة التنشيط للامتزاز التفككي.

(ب) اقترح بنية للطبقة العلوية تكون متوافقة مع نموذج LEED التي تم

ملاحظتها.

(ج) وضح اعتماد S على θ بمفهوم آلية الامتزاز.

(عند 300 K $S_o = 0.22$ ؛ عند 850 K $S_o = 0.45$ حيث تمثل درجة الحرارة، درجة حرارة الحزمة الجزيئية الحرارية.)

(أ) إن احتمالية الالتزاق (S_o) للتغطية صفر تكون متوافقة لعلاقة أرهينيوس

$$S_o = S' \exp\left(\frac{-E_{Diss}}{RT}\right) \quad (i)$$

حيث تمثل S' احتمالية الالتزاق ذات طاقة التنشيط تساوي صفر. باستعمال اللوغاريتم الطبيعي

$$\ln S_o = \ln S' - \frac{E_{Diss}}{RT} \quad (ii)$$

إذن، لنحصل على E_{Diss} ، يجب علينا معرفة إما S' أو نرسم منحنى $\ln S_o$ مقابل $\frac{1}{T}$.

إذا كان لدينا S_o عند درجتين من الحرارة T_1 و T_2

$$(\ln S_o)_{T_1} = \ln S' - \frac{E_{Diss}}{RT_1} \quad (iii)$$

$$(\ln S_o)_{T_2} = \ln S' - \frac{E_{Diss}}{RT_2} \quad (iv)$$

وبطرح المعادلة (iii) من المعادلة (iv)

$$(\ln S_o)_{T_2} - (\ln S_o)_{T_1} = -\frac{E_{Diss}}{RT_2} + \frac{E_{Diss}}{RT_1} = \frac{E_{Diss}}{R} \left(\frac{1}{T_1} - \frac{1}{T_2} \right)$$

$$\ln \frac{(S_o)_{T_2}}{(S_o)_{T_1}} = \frac{E_{Diss}}{R} \left(\frac{1}{T_1} - \frac{1}{T_2} \right)$$

وهكذا بتعويض عند 300 K $S_o = 0.22$ ؛ عند 850 K $S_o = 0.45$

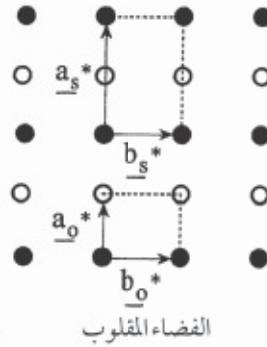
$$\therefore \ln \left(\frac{0.45}{0.22} \right) = \frac{E_{Diss}}{R} \left(\frac{1}{300} - \frac{1}{850} \right)$$

$$\therefore E_{Diss} = 2.77 \text{ kJ mol}^{-1}$$

(ب) باستعمال نموذج LEED (انظر إلى الشكل أدناه)، حدد خلية الوحدة

للفضاء المعكوس للماز ووحدة خلية الطبقة العلوية.

● = بقع الماز
○ = بقع الطبقة العلوية



الفضاء المعكوس

عوض متجهات خلية وحدة الماز

$$a_o^* = \frac{1}{2} a_s^* + 0 b_s^*$$

$$b_o^* = 0 a_s^* + b_s^*$$

والآن كون المصفوفة G^* للفضاء المعكوس

$$G^* = \begin{bmatrix} 1/2 & 0 \\ 0 & 1 \end{bmatrix}$$

ثم بعد ذلك حول من الفضاء المعكوس إلى الفضاء الحقيقي

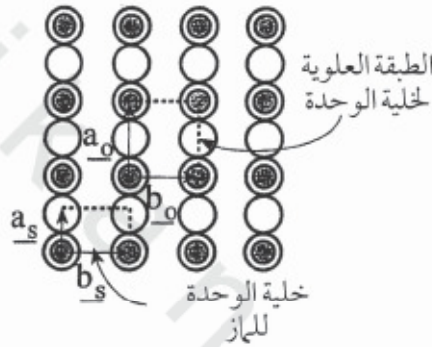
$$G = \frac{1}{\det G^*} \begin{bmatrix} G_{22}^* & -G_{21}^* \\ -G_{12}^* & G_{11}^* \end{bmatrix} \quad \text{انظر المعادلة رقم (2.25)}$$

$$G = \frac{1}{1 \times 1/2 - 0 \times 0} \begin{bmatrix} 1 & 0 \\ 0 & 1/2 \end{bmatrix} = \begin{bmatrix} 2 & 0 \\ 0 & 1 \end{bmatrix}$$

اكتب موجات الفضاء الحقيقي للطبقة العلوية بمصطلحات الخاصة بالماز

$$\begin{aligned} a_o &= 2 a_s + 0 b_s^* \\ b_o &= 0 a_s + 1 b_s \end{aligned}$$

ارسم سطح الماز وأبني خلية الوحدة للطبقة العلوية مستخدماً الموجهات أعلاه (انظر إلى الشكل أدناه).



الفضاء الحقيقي

رموز وود (Wood's notation) $\text{Cu}(110) - p(2 \times 1) - O - (0.5 \text{ ML})$

رموز المصفوفة $\text{Cu}(110) - \begin{bmatrix} 2 & 0 \\ 0 & 1 \end{bmatrix} - O - (0.5 \text{ ML})$

(ج) غالباً، يتطلب الامتزاز التفككي وجود موقعين للامتزاز متجاورين وبالتالي

تكون لها احتمالية التزاق تتغير وفقاً للعلاقة التالية

$$S \propto (1 - \theta)^2$$

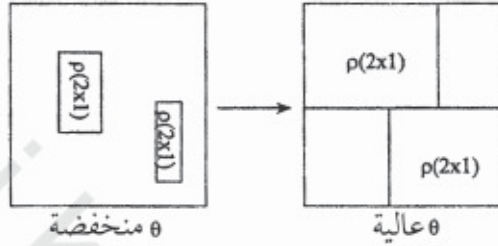
التي تظهر واضحاً أنها ليست خطية بالنسبة للتغطية. (انظر إلى الشكل رقم ١,٧).

ولكن، بالرغم من أن الامتزاز تفككي، يلاحظ اعتماد خطي. وسبب ذلك هو آلية

الامتزاز ويمكن تفسير ذلك إذا جازر الطبقة العلوية ذات التماثل $p(2 \times 1)$ تتكون حتى في

حالة التغطية المنخفضة، كما هو موضح في الشكل. وهذا يوضح لماذا يمكن ملاحظة

نموذج LEED $p(2 \times 1)$ حتى في حالة التغطية الأقل من 0.5 ML. بما أن المساحة الحرة لجزر $p(2 \times 1)$ ترتفع خطيا مع التغطية، بين الصفر و 0.5 ML، فيمكن كذلك تفسير التغير الخطي لاحتمالية الالتزاق التي لوحظت تجريبيا. وبالتالي فمن المتوقع $S \propto (1-\theta)$.



٨- يؤدي امتزاز 0.5 ML من الكبريت على $Ni(100)$ إلى ارتفاع قدره 0.24 eV في دالة الشغل. أوجد الاتجاه ودرجة تحويل الشحنة بين الكبريت والنيكل (نظام النيكل هو مكعب مركز الوجه ذوا ثابت شبكية قيمته 3.51 \AA). بالإضافة، فإن التباعد بين الطبقات كبريت-نيكل المقدر بطريقة LEED يساوي 1.3 \AA . افترض أن هذا يمثل المسافة بين الشحنة على الممتز والمستوى الصورة.

إن تغير دالة الشغل $\Delta\phi$ مرتبط بالعزم الثنائي القطب (μ) لكل ممتز وفقا للمعادلة

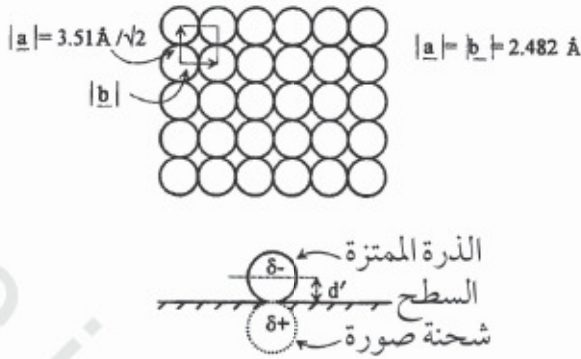
$$\frac{\Delta\phi}{e} = n \frac{\mu}{\epsilon_0}$$

حيث n = الكثافة السطحية للممتز بوحدة atoms m^{-2} و ϵ_0 = سماحية الفضاء

الحر = $8.854 \times 10^{-12} \text{ CV}^{-1} \text{ m}^{-1}$. حساب n (أنظر الشكل)

$$6.15 \text{ \AA}^2 = (2.48 \text{ \AA})^2 = \text{مساحة الوحدة}$$

تحتوي خلية الوحدة ذرة سطحية واحدة لأن كل واحدة من الذرات الأربعة مشتركة بين أربعة خلايا وحدة.



$$\text{No of atoms per } m^2 = \frac{1 \text{ } m^2}{6.15 \text{ \AA}^2} = \frac{1 \text{ } m^2}{6.15 \times 10^{-20} \text{ } m^2} = m^2 \text{ لكل الذرات} \therefore$$

$$1.626 \times 10^{19} \text{ atoms } m^{-2} = \text{طبقة أحادية واحدة} \therefore$$

ولكن تغطية السطح بالكبريت هي فقط 0.25 ML

$$\therefore n = \frac{1.626}{4} \times 10^{19} = 4.065 \times 10^{18} \text{ } m^{-2}$$

لحساب μ

$$\mu = \frac{\Delta\phi\epsilon_0}{en} = \frac{(0.24 \text{ V})(8.854 \times 10^{-12} \text{ CV}^{-1} \text{ } m^{-2})}{4.065 \times 10^{18} \text{ } m^{-2}}$$

$$\mu = 5.227 \times 10^{-31} \text{ C m}$$

$$\mu = qd \quad \text{والآن}$$

حيث الشحنة على الذرة الممتزة q (انظر الشكل)

$$d = 2d' = 1.3 \text{ \AA} = \text{التباعد بين الطبقات}$$

$$q = \frac{\mu}{d} = \frac{5.227 \times 10^{-31} \text{ C m}}{1.30 \times 10^{-10} \text{ m}}$$

$$q = 4.02 \times 10^{-21} \text{ C}$$

إن الشحنة على الإلكترون، e ، تساوي $1.6 \times 10^{-19} \text{ C}$

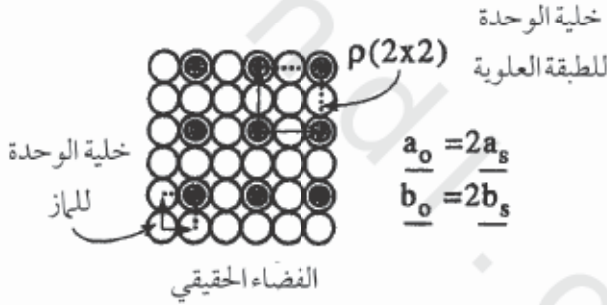
وبالتالي فإن الشحنة على ذرة الممتز للكبريت هي

$$\frac{4.02 \times 10^{-21}}{1.60 \times 10^{-19}} = 0.025$$

أي 2.5% من الشحنة الإلكترونية. ونظراً أن القيمة $\Delta\phi$ قد ازدادت، فإن هذا الفائض في الشحنة هو سالب ومتمركز على الكبريت.

٩- أحسب عدد حزم LEED المعادة التي تشتت back-scattered من الطبقة العلوية $p(2 \times 2)$ على Pd(100) عند 50 eV وتحت ظروف الإسقاط العمودي (نظام البلاديوم هو مكعب مركز الوجه بثابت شبكية يساوي 3.89 Å). ما هي الزاوية المكونة بين الحزمة (1, 0) والعمودي للسطح؟

أولاً: لرسم بنية الفضاء الحقيقي (انظر الشكل أدناه):



حساب a_s و b_s

$$2(|a_s|)^2 = c^2$$

حيث c = ثابت الشبكية للمعدن fcc (انظر إلى الشكل رقم ١,٤١)

بما أن $c = 3.89 \text{ \AA}$ بالنسبة ل Pd

$$|a_s| = \sqrt{\frac{(3.89)^2}{2}} = 2.751 \text{ \AA} = |b_s|$$

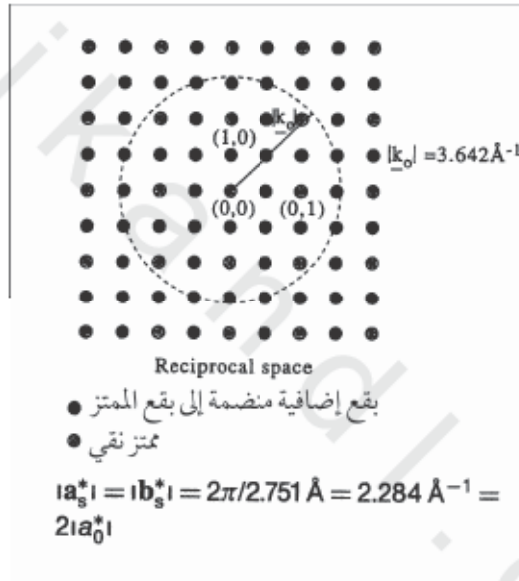
وبالتالي $|a_0| = 2 \times 2.75 \text{ \AA} = 5.501 \text{ \AA} = |b_0|$.

يجب بناء الشبكية المعكوسة للطبقة العلوية :

$$|a_o^*| = \frac{2\pi}{|a_o|} = \frac{2\pi}{5.501 \text{ \AA}} = 1.142 \text{ \AA}^{-1}$$

$$|b_o^*| = \frac{2\pi}{|b_o|} = \frac{2\pi}{5.501 \text{ \AA}} = 1.142 \text{ \AA}^{-1}$$

تم رسم مقلوب الشبكة طبقا للمقياس (انظر إلى الشكل أدناه) :



إن شبكية الفضاء المعكوس هي عبارة شبكة قضيبات عمودية لمستوي الورقة. لإيجاد

عدد الحزم المنعكسة، أولاً لنحسب موجه الموجة للحزمة الساقطة :

$$|k_o| = \frac{2\pi}{\lambda}$$

والآن لحساب طول موجة دي بروجلي (λ) :

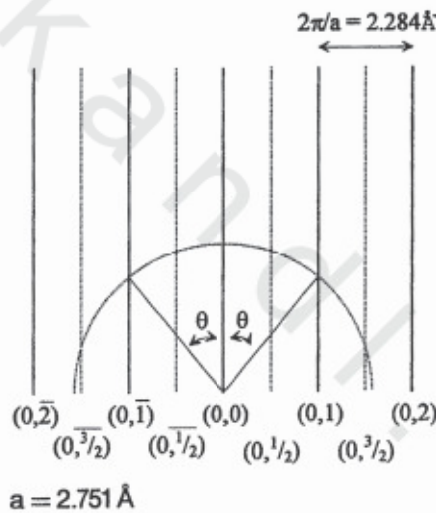
$$\lambda(\text{\AA}) = \sqrt{\frac{150.4}{E_p(\text{eV})}} = \sqrt{\frac{150.4}{50}}$$

$$\lambda = 1.734 \text{ \AA}$$

$$|k_0| = \frac{2\pi}{\lambda} = 3.624 \text{ \AA}^{-1} \quad \text{وعليه}$$

ارسم موجه مقداره 3.624 \AA^{-1} من أصل الفضاء المعكوس ثم أبني دائرة نصف قطرها $|k_0|$. كل نقاط شبكية المعكوس التي تنتج داخل الدائرة ستعطي الحزم المنعكسة. \therefore نريد إنتاج 37 حزمة منعكسة عند 50 eV .

لكي يتم إيجاد اتجاه الحزمة $(0, 1)$ ، ارسم قطعة من الشبكية المعكوسة على طول الاتجاه $[01\bar{1}]$ وعمودية للسطح البلورة (انظر إلى الشكل أدناه).



$$\sin \theta = \left(\frac{\frac{2\pi}{a}}{3.624 \text{ \AA}^{-1}} \right) 0.630$$

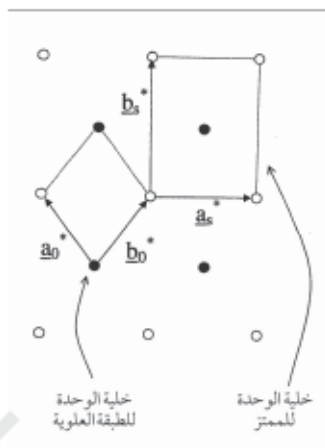
$$\therefore \theta = 39^\circ$$

بالإضافة، إنه من الواضح أن سبعة حزم ستظهر في الفراغ بالنسبة لهذا الاتجاه الخاص (يقطع k_0 قضيبات الفراغ المعكوس عند سبعة مواقع).

١٠- يؤدي إمتزاز 0.5 ML من K على $\text{Co}\{10\bar{1}0\}$ إلى تكوين نموذج LEED الموضح أدناه. إن تشبع سطح K المغطى بمادة CO عند K 300 لا يؤدي إلى تغير في التماثل لنموذج LEED، بالرغم من التغيرات الكبيرة التي لوحظت في أطيايف $I(V)$ لحزم الطبقات العلوية. وبينت RAIRS اهتزازة استطالة كثيفة ومنفردة عند 1732 cm^{-1} ، لمادة CO (بالنسبة ل CO على $\text{Co}(10\bar{1}0)$ النقي عند 0.5 ML، لوحظت حزمة عند 2020 cm^{-1}). إن طيف الكتلة 28 بالنسبة للتطغيتية 0.5 ML CO على $\text{Co}(10\bar{1}0)$ النقي، أدى إلى قمة مج منفردة عند K 398، بينما في حالة الامتزاز المشترك مع K أدت إلى انحياز للقيمة القصوى للمج إلى الأعلى عند K 611 ولكن بدون تغيير في المساحة المكاملة تحت قمة TPD ($\beta = 2 \text{ K s}^{-1}$). مستخدماً للمعطيات الموضحة أعلاه :

- (أ) أقترح بنية طبقة علوية للنظام الممتز- المشترك CO / K.
 (ب) أوجد ارتفاع المحث - K لطاقة الارتباط CO.
 (ج) باعتبار أن البوتاسيوم ممتز مانح للإلكترون، اقترح سبباً للانحياز إلى الأسفل لاهتزازة استطالة CO المحث بواسطة البوتاسيوم.
 يمكن الحصول على خلية الوحدة لبنية الممتز- المشترك CO / K من نموذج LEED (انظر إلى الشكل أدناه).





كتابة متجهات خلية الوحدة للفضاء المعكوس بالنسبة للطبقة العلوية بمصطلحات الماز:

$$a_0^* = -\frac{1}{2}a_s^* + \frac{1}{2}b_s^*$$

$$b_0^* = \frac{1}{2}a_s^* + \frac{1}{2}b_s^*$$

$$\therefore G^* = \begin{bmatrix} \frac{1}{2} & \frac{1}{2} \\ -\frac{1}{2} & \frac{1}{2} \end{bmatrix}$$

\therefore تعطى بنية الفضاء الحقيقي بالعلاقة :

$$G = \frac{1}{\det G^*} \begin{bmatrix} \frac{1}{2} & \frac{1}{2} \\ -\frac{1}{2} & \frac{1}{2} \end{bmatrix} \quad \text{انظر المعادلة رقم (25.2)}$$

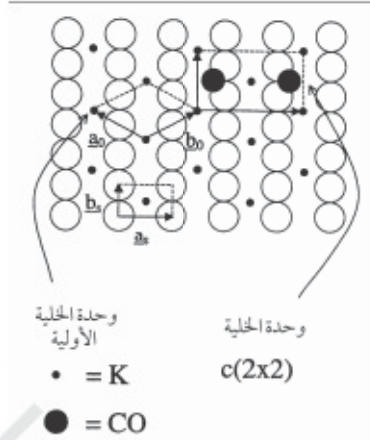
$$\det G^* = -\frac{1}{2} \cdot \frac{1}{2} - \left(\frac{1}{2} \cdot \frac{1}{2}\right) = -\frac{1}{2}$$

حيث

$$\therefore G = \begin{bmatrix} -1 & 1 \\ 1 & 1 \end{bmatrix}$$

$$\begin{aligned} \therefore a_0 &= -a_s + b_s \\ b_0 &= a_s + b_s \end{aligned}$$

ارسم سطح الماز واختار موقع مجوف لكل ذرة K (انظر الشكل أدناه).



إن البنية كما هي مرسومة تعطي تغطية بوتاسيوم قدرها 0.5 ML. إن خلية الوحدة $c(2 \times 2)$ تحتوي على ذرتين من البوتاسيوم (الذرة في المركز زائد الذرات في الأركان الأربعة للخلية). تحتوي الخلية أيضاً أربعة ذرات للماز. إذن، تغطية البوتاسيوم هي 4 : 2 أو 0.5 ML.

نظراً أن المساحة المكتملة تحت مقدار ضئيل من المجر تتناسب طردياً مع تغطية السطح، يمكن القول أن تغطية CO في بنية المتمر - المشترك تساوي أيضاً 0.5 ML. علاوة على ظهور اهتزازة استطالة CO منفردة فقط، كأنها تدل على أن لكل جزيئات CO محيطات كيميائية متطابقة.

إضافة إلى ذلك، إن كل من النقص الكبير في انجياز تردد استطالة CO والانجياز الكبير في قيمة TPD القصوى تؤدي إلى اقتراح وجود تعامل بيني بوتاسيوم - CO قوي، أي أن K و CO في احتكاك متقارب. إذن يجب أن نضع جزيئين من CO داخل خلية الوحدة $c(2 \times 2)$ في محيطات كيميائية متطابقة. إن مواقع إمتزاز CO التي تقدم أكبر "مكان" (تعاملات بينية أقل تنافراً)، هي المواقع "البعيدة عن الجسور" (انظر إلى الشكل أدناه). الوسيلة الوحيدة للحصول على مواقع CO و K الحقيقية (تذكر، لقد تم

افتراض أن K تتمركز في المحفوف الرباعي) هي الحسابات التي تأخذ بعين الاعتبار الجانب الديناميكي التام في طريقة LEED .

إن الاستنتاج النهائي الذي يمكن أن نعطيه حول البنية يخصص توجيهه أو تكييفه CO. عندما تلاحظ حزمة إمتزاز قوية ل CO ، فإن استخدام قاعدة الاختيار للسطوح تسمح لنا أن نستنتج هندسة الإمتزاز التي يكون فيها الجزئيء في وضع "ممتد" lying down بمحور رابطة موازي للسطح.

بافتراض مج CO من الرتبة الأولى، يمكننا تطبيق المعادلة رقم (2.45) لتقدير E_d :

$$E_d = RT_p \left[\log_e \left(\frac{AT_p}{\beta} \right) - 3.46 \right]$$

حيث $R = 8.314 \text{ J mol}^{-1} \text{ K}^{-1}$ ؛ T_p = درجة حرارة سرعة المج القصوى

$\beta = 10^{13} \text{ s}^{-1}$ = معامل الأسّي = A و K s^{-1} = سرعة التسخين =

CO على $\{10 \bar{1} 0\}$ النقي

$$E_d = (8.314 \text{ J mol}^{-1} \text{ K}^{-1})(398 \text{ K}) \left[\ln \left(\frac{10^{13} \text{ s}^{-1} 398 \text{ K}}{2 \text{ K s}^{-1}} \right) - 3.46 \right]$$

$$E_d = 3.31 \text{ kJ mol}^{-1} [\ln(1.99 \times 10^{15}) - 3.46]$$

$$E_d = 105.1 \text{ kJ mol}^{-1}$$

إن هذا الارتفاع الكبير في قيمة E_d المحث بالبوتاسيوم يمكن أن يكون أما نتيجة الزيادة في ارتباط CO بالكوبالت ، وأما يكون بسبب التعامل البيئي الجانبي التجاذبي بين K و CO (أو كلاهما معاً!).

نظراً أن المنح - التراجعي back-donation للشحنة في المدارات $2\pi^*$ على CO المتمز ستضعف الرابطة C-O ، فإن نموذج متوافق مع المعطيات سيكون منح الشحنة من طرف K إلى الماز(وبالتالي سيصبح هو بنفسه مشحون موجيباً) وأن الماز المانح

استرجاعياً بعض من هذه الشحنة "الإضافية" إلى المدارات $2\pi^*$ على CO يؤدي إلى كل من الانخفاض في تردد استطالة CO وإلى تجاذب كهروساكن معزز بين الشحنة السالبة الفائضة على CO والشحنة الموجبة الفائضة على K (ارتفاع في E_h).

Obelika.ndi.com

ثبت المصطلحات

عربي - إنجليزي

ا

Surface relaxation	استرخاء السطح
Semiconductors	أشباه الموصلات
Reconstruction	إعادة بناء
Lateral interactions	الأعمال البينية
Ostwald ripening	إكتمال تنمية أستوالد
Secondary electrons	إلكترونات ثانوي
Adsorption	امتزاز
Co-adsorption	امتزاز - مشترك
Associative adsorption	امتزاز تفككي
Dissociative adsorption	امتزاز تفككي
Dynamics of adsorption	امتزاز ديناميكي
Physisorption	امتزاز فيزيائي
Chemisorption	امتزاز كيميائي

Activated adsorption	امتزاز منشط
Multilayer adsorption, desorption	امتزاز، انفصام متعدد الطبقات
Diffusion	انتشار
Electron overspill	انتشار إلكتروني
Diffusivity	انتشارية
Enthalpy of adsorption	أنثالبي الإمتزاز
X-ray diffraction	انحراف الأشعة السينية
Chemical shift (in XPS)	انحياز كيميائي (في XPS)
Phase shift	انزياح الطور
Reaction limited desorption	الانفصام المحدود للتفاعل
First order	انفصام من الرتبة الأولى
BET (Brunauer-Emmett-Teller) isotherm	إيزوثيرم BET
Langmuir adsorption isotherm	إيزوثيرم إمتزاز لانجمير
Temkin isotherm	إيزوثيرم تيمكن
Fingerprinting	بصمة الأصبع
Plasmon	بلاسمون
Single crystal	البلورة المنفردة
Impact scattering	تأثير التشتت
X-ray fluorescence	تألق الأشعة السينية

Charge transfer	تحويل الشحنة
Stranski – Krastanov	ترانسكي – كراستنوف
Isotopic labeling	التقييم النظائري
Miller index	ترميز ميلر
Dipole scattering	تشتت ثنائي القطب
Multiple scattering	تشتت مضاعف
BDDH classification Brunauer Denning, Denning and Teller	تصنيف BDDH
Coverage	تغطية
Ultra high vacuum (UHV)	التفريغ العالي
Molecular orientation	تكيف جزيئي
Sticking probability	تمالية الالتزاق
Electron tunneling	التمرير النفقي للإلكترون
Mobility	التنقل
Core hole ^{٨٠}	ثقب اللب
Image dipole	ثنائي القطب صورة
Leonard-Jones potential	جهد ليونار- جونز
Inner potential	الجهد الداخلي
Scanning probe microscopy (SPM)	جهرية الفحص المساحة

م

Selvedge	حاشية ، حافة
Isosteric heat of adsorption	حرارة الإمتزاز لتساوي التغطية
Heat of adsorption	حرارة الامتزاز
Molecular beams	حزم جزيئية
Valence band	حزمة التكافؤ
Energy band	حزمة طاقة
Electron diffraction	حيود الإلكترونات
Low energy electron	حيود الكترولون بطاقة منخفضة

ن

Unit cell	خلية الوحدة
-----------	-------------

د

Work function	دالة الشغل
---------------	------------

ر

Van der Waals Bond	رابطة فاندرفالز
Matrix notation	رموز المصفوفة
Wood's notation	رموز وود

ز

Emission angle	زاوية الإنبعث
Residence time	زمن المكوث

Hexagonal close packed (hcp)

س

السداسي المتراص

Bravais lattices

ش

شبيكات برافيا

Reciprocal lattice

الشبيكية المعكوسة

Image charge

شحنة صورة

Binding energy

ط

طاقة إرتباط

Gibb's free energy

الطاقة الحرة لجيبس

Monolayer

طبقة أحادية

De Broglie wavelength^h_v

طول موجة دي بروجلي

Quadrupole mass spectrometer

طيف كتلة رباعي القطب

XPS (x-ray photoelectron spectroscopy)

طيفية الالكترن الضوئي للشعاع السيني

Ultraviolet photoemission spectroscopy (UPS)

طيفية الإلكترن الضوئي للشعاع

Vibrational spectroscopy

فوق البنفسجي

طيفية الاهتزازية

Thermal desorption spectroscopy (TDS)

طيفية المح الحراري

Reliability factor

م

عامل التحليل (و العول)

Dipole moment

عزم ثنائي القطب

Defects

عيوب

Incommensurate

غ

غير متناسب

Freundlich

ف

فراندليتش

Frank-van der Merwe

فرانك فان دير ميروي

Path length difference

فرق طول المسار

Sputtering

فرقة

Real space

الفضاء الحقيقي

Reciprocal space

الفضاء المعكوس

Volmer-Weber

فولمر- ويبير

Phonon

فونون

Surface selection rule (RAIRS)

ر

قاعدة الإختيار السطحية

Henry's Law

قانون هنري

Trapping

القبض

Argon ion bombardment

قذف بأيونات الأرجون

Density of states

ك

كثافة الحالات

Ewald sphere

كرة إيوالد

Adsorbent

م

ماز

Wave-vector	متجه - موجي
Reciprocal lattice vector	متجه الشبكية المعكوسة
Isostere	متساويات التغطية
Commensurate	متقايسة
Inelastic mean free path	متوسط المسار الحر غير المرن
Stereographic triangle	مثلث ستيريوغرافي
Desorption	المج
Temperature programmed desorption (TPD)	المج بدرجة الحرارة المبرمجة
Second order desorption	مج من الرتبة الثانية
Zero order desorption	مج من الرتبة صفر
Scanning Auger microscopy (SAM)	مجهرية أوجيه الماسحة
Atomic force microscopy (AFM)	مجهرية القوة الذرية
Scanning tunneling microscopy (STM)	مجهرية النفقي الماسحة
Electrostatic energy analyzer	محلل الطاقة الكهروساكنة
Prost diagram	مخطط بروست
Surface area ^{٢,٨,٩,١٦١}	المساحة السطحية
Precursor (intrinsic and extrinsic)	المسبق (الجوهري وغير الجوهري)
Vacuum level	مستوى الفراغ
Core level ^{٧٢}	مستوى اللب
Fermi level	مستوى فيرمي
ESCA (electron spectroscopy for chemical analysis)	مطيافية الإلكترون لتحليل الكيميائي

Auger electron spectroscopy (AES)	مطيافية الكترون أوجر
Reflection absorption infrared spectroscopy (RAIRS)	المطيافية تحت الحمراء للإمتزاز-المعكوس
High resolution electron energy loss spectroscopy (HREELS) 156	مطيافية فقدان الطاقة الإلكترونية الدقيقة
Depth profiling	مظهر في العمق
Einstein equation	معادلة أينشتين
Helmholtz equation	معادلة هلمهولتز
Pre-exponential factor	المعامل الأسّي
Accommodation coefficient	معامل التكيف
Body-centered cubic (bcc)	مكعب مركز الجسم
Face-centered cubic (fcc)	مكعب مركز الوجه
Adsorbate	ممتز
Back-donation	منح - تراجمي
Universal curve	المنحنى العام
Surface sites	مواقع سطحية
Adsorption site	موقع امتزاز
Koopman's theorem	نظرية كويمان
Epitaxial growth	نمو طبقي
Thin film growth	نمو فيلم رقيق

ثانياً: إنجليزي - عربي

A

Accommodation coefficient	معامل التكيف
Activated adsorption	امتزاز منشط
Adsorbate	ممتز
Adsorbent	ماز
Adsorption	امتزاز
Adsorption site	موقع امتزاز
Argon ion bombardment	قذف بأيونات الأرجون
Associative adsorption	امتزاز تفككي
Atomic force microscopy (AFM)	مجهرية القوة الذرية
Auger electron spectroscopy (AES)	مطيافية الكترون أوجر

B

Back-donation	منح - تراجمي
BDDH classification Brunauer Denning, Denning and Teller	تصنيف BDDH
BET (Brunauer-Emmett-Teller) isotherm	إيزوثيرم BET
Binding energy	طاقة إرتباط
Body-centered cubic (bcc)	مكعب مركز الجسم
Bravais lattices	شبيكيات برافيا

C

Charge transfer	تحويل الشحنة
Chemical shift (in XPS)	انحياز كيميائي (في XPS)

Chemisorption	امتزاز كيميائي
Co-adsorption	امتزاز - مشترك
Commensurate	متقايسة
Core hole	ثقب اللب
Core level	مستوى اللب
Coverage	تغطية
De Broglie wavelength ^{٨٧}	طول موجة دي بروجلي
Defects	عيوب
Density of states	كثافة الحالات
Depth profiling	مظهر في العمق
Desorption	المج
Diffusion	انتشار
Diffusivity	انتشارية
Dipole moment	عزم ثنائي القطب
Dipole scattering	تشتت ثنائي القطب
Dissociative adsorption	امتزاز تفككي
Dynamics of adsorption	امتزاز ديناميكي
Einstein equation	معادلة أينشتين
Electron diffraction	حيود الإلكترونات

Electron overspill	انتشار إلكتروني
Electron tunneling	التمرير النفقي للإلكترون
Electrostatic energy analyzer	محلل الطاقة الكهروساكنة
Emission angle	زاوية الإنبعث
Energy band	حزمة طاقة
Enthalpy of adsorption	أنثالبي الإمتزاز
Epitaxial growth	نمو طبقي
ESCA (electron spectroscopy for chemical analysis)	مطيافية الإلكترون للتحليل الكيميائي
Ewald sphere	كرة إيwald

F

Face-centered cubic (fcc)	مكعب مركز الوجه
Fermi level	مستوى فيرمي
Fingerprinting	بصمة الأصبع
First order	انفصام من الرتبة الأولى
Frank-van der Merwe	فرانك فان دير ميروي
Freundlich	فراندليتش

Gibb's free energy	الطاقة الحرة لجيبس
--------------------	--------------------

H

Heat of adsorption	حرارة الامتزاز
Helmholtz equation	معادلة هلمهواتز

Henry's Law	قانون هنري
Hexagonal close packed (hcp)	السداسي المتراص
High resolution electron energy loss spectroscopy (HREELS) 156	مطيافية فقدان الطاقة الإلكترونية الدقيقة
I	
Image charge	شحنة صورة
Image dipole	ثنائي القطب صورة
Impact scattering	تأثير التشتت
Incommensurate	غير متناسب
Inelastic mean free path	متوسط المسار الحر غير المرن
Inner potential	الجهد الداخلي
Isostere	متساويات التغطية
Isosteric heat of adsorption	حرارة الإمتزاز لمتساوي التغطية
Isotopic labeling	الترقيم النظائري
K	
Koopman's theorem	نظرية كويمان
L	
Langmuir adsorption isotherm	إيزوثيرم إمتزاز لانجمير
Lateral interactions	الأعمال البينية
Leonard-Jones potential	جهد ليونار-جونس
Low energy electron	حيود الكترول بطاقة منخفضة

M

Matrix notation	رموز المصفوفة
Miller index	ترميز ميلر
Mobility	التنقل
Molecular beams	حزم جزيئية
Molecular orientation	تكييف جزيئي
Monolayer	طبقة أحادية
Multilayer adsorption, desorption	امتزاز، انفصام متعدد الطبقات
Multiple scattering	تشتت مضاعف

O

Ostwald ripening	إكتمال تنمية أستوالد
------------------	----------------------

P

Path length difference	فرق طول المسار
Phase shift	انزياح الطور
Phonon	فونون
Physisorption	امتزاز فيزيائي
Plasmon	بلاسمون
Precursor (intrinsic and extrinsic)	المسبق (الجوهري وغير الجوهري)
Pre-exponential factor	المعامل الأسّي
Prost diagram	مخطط بروست

Q

Quadrupole mass spectrometer

طيف كتلة رباعي القطب

R

Reaction limited desorption

الانفصام المحدود للتفاعل

Real space

الفضاء الحقيقي

Reciprocal lattice

الشبكية المعكوسة

Reciprocal lattice vector

متجه الشبكية المعكوسة

Reciprocal space

الفضاء المعكوس

Reconstruction

إعادة بناء

Reflection absorption infrared spectroscopy (RAIRS)

المطيافية تحت الحمراء للإمتزاز-المعكوس

Reliability factor

عامل التحليل (و العول)

Residence time

زمن المكوث

S

Scanning Auger microscopy (SAM)

مجهرية أوجيه الماسحة

Scanning probe microscopy (SPM)

مجهرية الفحص الماسحة

Scanning tunneling microscopy (STM)

مجهرية النفقي الماسحة

Second order desorption

مج من الرتبة الثانية

Secondary electrons

إلكترونات ثانوي

Selvedge

حاشية ، حافة

Semiconductors

أشباه الموصلات

Single crystal

البلورة المنفردة

Sputtering	فرقة
Stereographic triangle	مثلث ستيريوغرافي
Sticking probability	تمالية الالتزاق احتمالية الالتزاق
Stranski – Krastanov	ترانسكي – كراستوف
Surface area ٢,٨,٩,١٦١	المساحة السطحية
Surface relaxation	استرخاء السطح
Surface selection rule (RAIRS)	قاعدة الإختيار السطحية
Surface sites	مواقع سطحية

T

Temkin isotherm	ايزوثيرم تيمكن
Temperature programmed desorption (TPD)	المج بدرجة الحرارة المبرمجة
Thermal desorption spectroscopy (TDS)	طيفية المج الحراري
Thin film growth	نمو فيلم رقيق
Trapping	القبض

U

Ultra high vacuum (UHV)	التفريغ العالي
Ultraviolet photoemission spectroscopy (UPS)	طيفية الإلكترون الضوئي للشعاع فوق البنفسجي
Unit cell	خلية الوحدة
Universal curve	المنحنى العام

V

Vacuum level

مستوى الفراغ

Valence band

حزمة التكافؤ

Van der Waals Bond

رابطة فاندرفالز

Vibrational spectroscopy

طيفية الاهتزازية

Volmer-Weber

فولمر- ويبر

W

Wave-vector

متجه - موجي

Wood's notation

رموز وود

Work function

دالة الشغل

X

XPS (x-ray photoelectron spectroscopy)

طيفية الإلكترون الضوئي للشعاع السيني

X-ray diffraction

انحراف الأشعة السينية

X-ray fluorescence

تألق الأشعة السينية

Z

Zero order desorption

مج من الرتبة صفر

كشاف الموضوعات

امتزاز منشط ٢٧	١
امتزاز، مج متعدد الطبقات ١٤، ١٥٨	احتمالية الالتزاق ٢١، ٣٣،
انتشار ٢٤، ٤٨، ٥٧، ٦٠، ١٤٧	١٦٥، ١٨٩
انتشار إلكتروني ١٣١، ١٣٢	استرخاء السطح ٤٤، ٤٥
انتشارية ٥٩، ٦٠	أشباه الموصلات ٣٤، ٤٥، ٤٧
أنثالبي الإمتزاز ٣، ١٢، ١٤، ١٨،	إعادة بناء ٤٥، ١٩٦
١٨١	الأعمال البينية ٩، ١٧، ٦٣، ١٥٩
انحراف الاشعة السينية ٣٥، ١١٤	إكتمال تنمية أستوالد ٦٨، ٦٩
انزياح الطور ١١٧، ١١٨	إلكترونات ثانوية ٥٣، ١٥١
المج المحدود للتفاعل ١٦٢	امتزاز ١، ٦٧، ٢، ٩٥، ١٨٢
المج من الرتبة الأولى ١٥٥، ١٥٩	امتزاز - مشترك ٦٦، ١٧٥، ١٩٨
إيزوثيرم BET ١٣، ١٧، ٢٠	امتزاز تفككي ٢، ٢١، ٢٨، ١٨٥،
إيزوثيرم امتزاز	١٩٢
Langmuir ٢٠، ٢، ١٨٣	امتزاز تجمعي ٢، ٣، ٤، ١٦٣
إيزوثيرم امتزاز	امتزاز فيزيائي ١٩، ٢٣، ١٦٨
Freudlich ١٨، ١٨٢	امتزاز كيميائي ١٩، ٢٣، ١٦٨

تشتت الطبقات ١١٣، ١١٧، ١٨٧،

١٩٥

تصنيف Brunauer ١٦

تغطية ١، ٣، ٦، ١٠، ٢٠، ٢٧،

١٨١، ٢٠٠

التفريغ الحارق ٤٧

تكييف جزئي ٢٠١

التمرير النفقي للإلكترون ٧٩

التنقل ٥٩، ٨٠، ٩٠، ١٤٥

ث

ثقب اللب ٥٢، ٨٢، ٩٠، ١٤٥

ثنائي القطب صورة ١٧٤، ١٧٩

ج

جهد ليونار- جونس ٢١، ٢٨

الجهد الداخلي ١١٦

مجهريّة الفحص المساحة ١٢٠

ح

حافة ٤٤، ٦٨، ٨٨، ١٥٢

حرارة الامتزاز ١٠، ١٢، ١٣، ٦١

حزم جزئية ٧٩، ١٦٤، ١٨٩، ١٩٧

ايزوثيرم Temkin ١٨

ب

بصمة الأصبع ١٤٣، ١٤٤، ١٤٥

بلازمون ٥٢، ٥٦، ١٣٩

البلورة المنفردة ٣٥، ١٠٩، ١٩٧

ت

تأثير التشتت ٨٥، ٩٦، ١١٣، ١٤٣،

١٩٥

تألق الأشعة السينية ٨٩، ٩٠

تحويل الشحنة ٣١، ٨٦، ١٣٧،

١٩٣

سترانسكي - كرستوف ٩٤

الترقيم النظائري ١٦٢

ترميز ميلر ٣٥، ٤٠، ٤٣

تشتت ثنائي القطب ١٧٩، ١٨٠

تشتت مرن وغير مرن ٨٥، ٩٨،

١٤٣

تشتت الإلكترونات ٩٩، ١٠٣،

١٠٨

- س**
السداسي المتراص ٣٥، ٣٩، ٦١
- ش**
شبيكات برافيا ٣٩
الشبكية المعكوسة ١٠٢، ١٠٨،
١١٤، ١٣٠، ١٣٣
شحنة صورة ١٣٠، ١٣٣، ١٣٤
- ط**
طاقة إرتباط ٥٨، ١٤٦، ١٩٨
الطاقة الحرة لجيبس ١١، ٦٩
طبقة أحادية ١، ٣، ١٣، ١٦، ٧٤،
١٨٤
طول موجة دي بروجلي ٩٧، ١٠٤،
١١٧، ١٩٦
طيف كتلة رباعي القطب ١٥٢،
١٦٤، ١٦٩
مطيافية الالكترتون الضوئي للشعاع
السيني ٧٩
مطيافية الإلكترتون الضوئي للشعاع
فوق البنفسجي ١٣٨
مطيافية الاهتزازية ١٧٠، ١٧٣
- حزمة ٢٩، ٣١، ٤٨، ٥١، ٥٤، ٨٠
حزمة التكافؤ ٨٠، ٨٣، ١٤٣
حزمة أولية ٨٠
حزمة ساقطة ١٧٣
انحراف الإلكترتونات ٧٥، ٧٩
انحراف الكترون بطاقة
منخفضة ٧٩، ١٢١
- ث**
خلية الوحدة ٧٢، ٩٩
- د**
دالة الشغل ١٣٣، ٥٢، ١٥٠، ١٣٧،
١٩٣
- ر**
رابطة Van der Waals ١٨، ٦٣
رموز المصفوفة ٧٢، ٧٤، ١٩٢
رموز وود ٧٢، ٧٣، ٧٤، ١١٢،
١٩٢
- ز**
زاوية الإنبعث ٥٦، ٨٦، ١٨٨
زمن الاستبقاء ٢٣

قذف بأيونات الأرجون ٤٨ ، ٩٦ ،

١٨٥

ك

كثافة الحالات ١٤٠ ، ١٤٢ ،

كرة إيوالد ١١٥

م

مازا ١ ، ٧٤ ، ٩٤ ، ١٧٤ ، ١٨٦ ،

٢٠٠

متجه - موجي ١٠٦

متجه الشبكية المعكوسة ١٠٢ ، ١١٢ ،

متساويات التغطية ١٢ ، ١٣ ، ١٨١ ،

متوسط المسار الحر غير

متقايسة وغير متقايسة ٧٠

المرن ٥٣ ، ٥٥ ، ٨٨ ، ١٧٠ ، ١٨٨ ،

مثلث ستيريوغرافي ٤١ ، ٤٢ ،

المج ٣ ، ٢٨ ، ١٦٢ ، ١٦٤ ، ٢٠٠ ،

المج بدرجة الحرارة

المبرمجة ١٥٢ ، ١٥٩ ،

مج من الرتبة الثانية ١٥٧

مج من الرتبة صفر ١٥٧

مجهرية أوجيه الماسحة ٨٩ ، ١٨٦ ،

مطيافية المج الحراري ٧٩ ، ١٥٨ ،

ع

عامل التحليل ١١٩

عزم ثنائي القطب ٦٧ ، ١٣٣ ، ١٧٩ ،

١٩٣

عيوب ٣٣ ، ٤٨ ، ٦٨ ، ١٢٥ ، ١٢٦ ،

ف

فرانك فان دير ميروي

٩٤ (Frank-van der Merwe)

فرق طول المسار ٥٦ ، ١١٧ ، ١٨٦ ،

فرقة ٤٨ ، ٩٦ ،

الفضاء الحقيقي ١٩١

الفضاء المعكوس ١٩١ ، ١٩٧ ،

فولمر- ويبير ٩٤ ، ٩٥ ،

فونون ٥٢ ، ١٣٩ ، ١٧١ ،

ق

قاعدة الإختيار السطحية ١٤٨ ، ١٧٣ ،

قانون هنري ٢ ، ٥ ،

القبض ٢٥ ، ١٦٣ ، ١٦٥ ،

- مجهريّة القوة الذرية ١٢٧
- المعامل الأسّي مخطط
- مجهريّة النفقيّ المساحة ١٢٠ ، ١٢٢
- Propst ٧٧ ، ٧٨
- محلل الطاقة الكهروساكنة ٨٤
- معامل التكييف ٢٤
- المساحة السطحية ٢ ، ٧ ، ٨ ، ٩ ،
- مكعب مركز الجسم ١٨٥
- ١٥ ، ٥٠ ، ١٨٣
- مكعب مركز الوجه ١٩٥
- المسبق (الجوهري وغير الجوهري) ٢٣
- منح- تراجمي ٣٢ ، ٢٠١
- مستوى الفراغ ٨٠ ، ١٤٥
- المنحنى العام ٥٤ ، ٥٥
- مواقع سطحية ٣٣
- مستوى اللب ٨٠ ، ٨٣ ، ٨٥ ، ٨٧ ،
- موقع امتزاز ١ ، ٥ ، ١٨ ، ٣٥ ، ٥٧ ،
- ٦٢
- موقع علوية ١٧٧ ، ١٧٨
- ن
- مطيافية الإلكترون للتحليل ٧٩
- نظرية Koopman ٨٢ ، ١٤٥
- الكيميائيّ مطيافية الكترون
- نموذجي ٩٣ ، ٩٤ ، ١٨٧
- أوجيه ٧٩ ، ٩٥ ، ١٨٦
- نمو فيلم رقيق ٩٣ ، ٩٤
- المطيافية تحت الحمراء للإمتزاز-
- المعكوس ١٧٢ ، ١٧٤
- مطيافية فقدان الطاقة الإلكترونيّة
- الدقيقة ١٧٦
- مظهر في العمق ٩٦
- معادلة أينشتين ١٣٩
- معادلة هلمهولتز ١٣٣